

Aufgabenblatt 1

1. Entwerfen Sie eine deterministische 1-Band Turingmaschine die COUNT entscheidet.

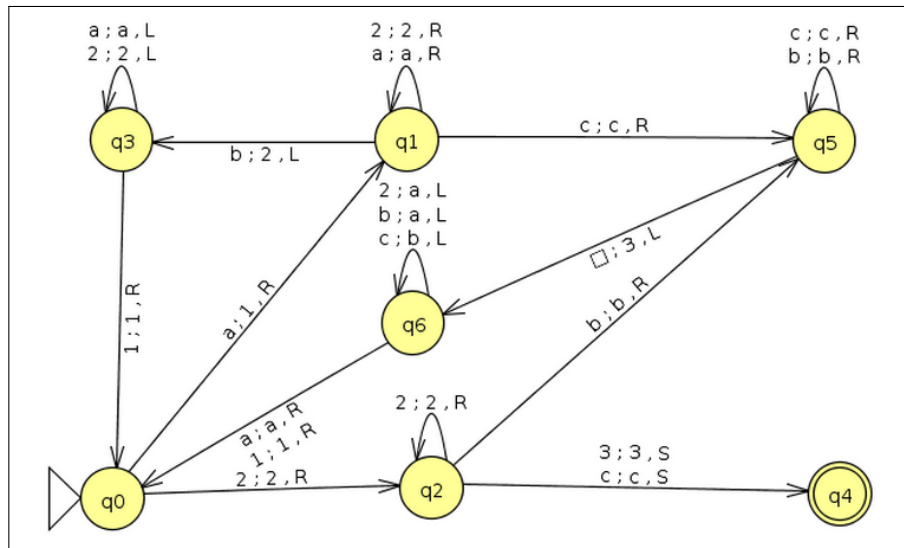


Abbildung 1: Turingmaschine

Unser Programm arbeitet in zwei Teilen. Die Zustände q_0 , q_1 und q_3 stellen fest ob sich im ersten gleich viele a-Symbole, wie b-Symbole befinden. Der zweite Teil der Turingmaschine, also die Zustände q_0 , q_2 , q_5 und q_6 , führen den Vergleich der Anzahl von b- mit c-Symbolen auf einen Vergleich von a- mit b-Symbolen zurück und führt somit, das Problem auf den ersten Teil unserer Turingmaschine zurück.

2. Beweisen Sie formal, dass diese Maschine korrekt funktioniert, d.h. dass sie genau dann den Endzustand erreicht, wenn die Eingabe aus COUNT ist.

Unser Alphabet beinhaltet $\Sigma = \{a, b, c, 1, 2, 3\}$. Wir definieren außerdem für $m \in \mathbb{N}$.

$$\alpha_m = \underbrace{aa \dots a}_m, \beta_m = \underbrace{bb \dots b}_m, \gamma_m = \underbrace{cc \dots c}_m, \sigma_m = \underbrace{11 \dots 1}_m, \rho_m = \underbrace{22 \dots 2}_m$$

Wir betrachten ein zu überprüfendes Wort $w = \alpha_i \beta_j \gamma_k$ wobei $i, j, k > 0$.

Erster Teil(Vergleichen)

Wie oben bereits beschrieben vergleicht der erste Teil nur die a-Symbole mit den b-Symbolen, daher betrachten wir nur den ersten Teil des Wortes ohne die c-Symbole.

$$w = \{\alpha_i \beta_j\}$$

1. Fall: $i=j$ Beispiel: ab

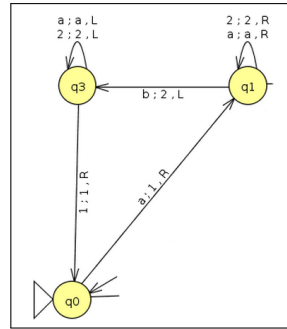


Abbildung 2: Vergleichen

- **Basis:** $q_0ab \xrightarrow{\tau} q_1b \xrightarrow{\tau} q_2 \rightarrow q_012$
- **Vorraussetzung:** $q_0\alpha_i\beta_j \xrightarrow{*} q_0\sigma_i\rho_j$
- **Schritt:** ($i \rightarrow i + 1$)
 $q_0\alpha_{i+1}\beta_{j+1} \equiv q_0\alpha_i\beta_jb \xrightarrow{\tau} q_1\sigma_i\alpha\rho_jb \xrightarrow{\tau} q_2\sigma_i\rho_jb \xrightarrow{\tau} q_0\sigma_{i+1}\rho_{j+1}$

2. Fall: $i > j$ für $j > 0$ und $i = j + 1 \dots n$. Beispiel: $aaaab \rightarrow 11aa2$

- **Basis:** $q_0aab \xrightarrow{\tau} q_1ab \xrightarrow{\tau} q_2 \xrightarrow{\tau} q_01a2 \xrightarrow{\tau} 11q_12 \xrightarrow{\tau} 112q_5$
- **Vorraussetzung:** $q_0\alpha_i\beta_j \xrightarrow{\tau} \sigma_{j+1}\alpha_{i-j-1}q_1\rho_j$
- **Schritt:** $q_0\alpha_{i+1}\beta_j \equiv q_0\alpha_i\alpha\beta_j \xrightarrow{\tau} \sigma_{j+1}\alpha_{i-j-1}a\rho_j \equiv \sigma_{j+1}\alpha_{i-j}q_1\rho_j \rightarrow (\sigma_{j+1}\alpha_{i-j}\rho_jq_5)$

3. Fall: $i < j$ Schneide ab, sodass $i=j$. Beispiel: $abbb \rightarrow 12bb$

Betrachte Teilwert mit $w = \alpha_i\beta_i \rightarrow \text{Fall1}$

Wir sehen also, dass man Im Fall 1 über den Zustand q_2 (Die c-Symbole werden hier nur überspult) in den Endzustand kommt. Im Fall 2 landen wir über Zustand q_2 (Ein b-Symbol, dass ja vorhanden sein muss, da im Fall 2 $j > i$ war, wird überspult) in q_5 . Im Fall 3 landen wir direkt im Zustand q_5 und somit im zweiten Teil unserer DTM (siehe unten).

Zweiter Teil(Überschreiben) Hier wird in q_5 bis ans rechte Bandende gespult und anschließend zur Wiederer-

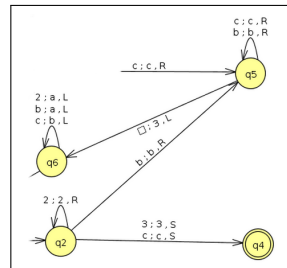


Abbildung 3: Überschreiben

kennung ein 3-Symbol ans rechte Bandende gesetzt. Der nachfolgende q_6 Zustand überschreibt alle c-Symbole mit b-Symbolen und alle 2/b-Symbole mit a-Symbolen während er wieder nach links Spult bis er ein 1 oder a-Symbol findet und im Zustand q_0 landet. Hier wird wieder der erste Teil(Vergleichen) aufgerufen. Falls im zweiten durchlauf von (Vergleichen) keine Übereinstimmung gefunden wird, so entscheidet das Programm ein Wort nicht und bleibt im Zustand q_5 stecken.

3. Laufzeitanalyse der TM und z.z. $COUNT \in P$

Analyse des ersten Teils (Vergleich von a- und b-Symbolen):

Die DTM überschreibt a-Symbole mit 1-Symbolen und der Lesekopf bewegt sich dann zum ersten b-Symbol, welches er mit dem 2-Symbol ersetzt und anschließend wandert er zurück zum nächsten a-Symbol. Diesen Prozess wiederholt die DTM so lange, bis alle a- und b-Symbole mit den entsprechenden 1- bzw 2-Symbolen ersetzt wurden. Falls es gleich viele sind geht die DTM in den Endzustand über, ansonsten in den zweiten Teil unserer DTM (siehe unten).

Den Abstand, den der Lesekopf zurücklegt, jedes Mal wenn er von a nach b bzw von b nach a bewegt, ist klarerweise $\leq n$ und er legt diese Distanz maximal n mal zurück. (Im worst case, also wenn $i = j$, $i \leq n$ mal) Daher ergibt sich für den ersten Teil eine Laufzeit von

$$T(n) = \mathcal{O}(n) * \mathcal{O}(n) = \mathcal{O}(n^2)$$

Analyse des zweiten Teils (Zurückführung des c-,b-Problems auf den ersten Teil)

Dieser Teil der DTM wird nur dann aufgerufen, falls der erste Teil nicht entschieden worden ist (und somit $i \neq j$). Nun gilt zu überprüfen, ob die Anzahl der b-Symbolen gleich der Anzahl der c-Symbolen ist (daher ob $j = k$). Die DTM beginnt vom rechten Bandende zu arbeiten und ersetzt der Reihe nach alle c-Symbole mit b-Symbolen und alle 2-Symbole/b-Symbole (die ja vorher b-Symbole waren) mit a-Symbolen, bis der Lesekopf ein 1-Symbol erreicht. Dieser Prozess findet nur einmal statt, denn nun befindet sich die DTM wieder im ersten Teil. Die Laufzeit für den zweiten Teil ergibt sich also nur durch das einmalige Zurücklegen der Distanz vom rechten Bandende bis zum ersten 1-Symbol. Daher:

$$T(n) = \mathcal{O}(n)$$

Als **resultierende Laufzeit** für die gesamte DTM ergibt sich damit:

$$T(n) = \mathcal{O}(n^2) + \mathcal{O}(n) = \mathcal{O}(n^2)$$

Literatur:

<http://www.igi.tugraz.at/lehre/TI1/SS15/ue/TI1-UE-03-handout.pdf>

Aufgabenblatt 2

1. Beweisen, Sie dass ein perfektes Matching in diesem Graphen mit $|A| = |B| = k$ genau dann existiert, wenn $\max_f F(f) = k$.

Der Beweis gliedert sich in zwei Teile.

Zunächst beweisen wir, dass aus $\max_f F(f) = k$ folgt, dass es ein perfektes Matching gibt:

Wir nehmen also zunächst an $\max_f F(f) = k$, daher also in unserem bipartiten Graphen existiert ein Fluss f^* , der genau den Flusswert k besitzt. Da $|A| = |B| = k$ gilt, folgt

$$F(f^*) = \sum_{i=1}^k f^*((q, a_i)) = \sum_{i=1}^k f^*((b_i, s)) = k, \quad a_i \in A, b_i \in B \quad (1)$$

wobei q und s die in der Angabe definierte Quelle und Senke ist. Betrachten wir nun die Kapazitäten der Kanten $0 \leq f((i, j)) \leq 1, \forall (i, j) \in E$ (und für alle Flüsse f) so sehen wir, dass

$$f((q, a_i)) = f((b_i, s)) = 1 \quad \forall i = 1, \dots, k \quad (2)$$

gelten muss, da in (1) die Summe k Summanden hat, die zwischen Null und Eins liegen und somit nur den Wert k annehmen kann falls alle Summanden den Wert Eins annehmen.

Angenommen es existiert nun kein perfektes Matching (Daher $2|M| < |V|$) in unserem Graphen $G = (V, E)$. Da es sich um einen bipartiten Graphen handelt existiert innerhalb von $B(A)$ keine Kante, die Knoten von $B(A)$ mit sich selbst verbindet. Damit nun kein perfektes Matching existieren kann, unterscheiden wir zwei Fälle:

1. Es gibt mindestens einen Knoten $w \in B(A)$, der mit keiner Kante aus $A(B)$ verbunden ist. Dies führt aber sofort zu einem Widerspruch zur Flusserhaltungsbedingung ,denn

$$0 = \sum_{p \in \text{Parent}(w)} f((p, w)) = \sum_{c \in \text{Child}(w)} f((w, c)) = f((w, s)) = 1 \quad (3)$$

2. O.B.d.A betrachten wir B . Alle Knoten aus B sind mit einer Kante aus A verbunden und es gibt mindestens einen Knoten $w \in B$, der nicht gematcht wird. Dies bedeutet aber, dass er mit einem Knoten $v \in A$ verbunden sein muss der gemacht wird, denn ansonsten könnte man diese Kante zum Matching hinzufügen und somit erweitern (Führt man dies iterativ weiter so bekommt man ein perfektes Matching). Da der Knoten v im Matching ist, muss er mit einem anderen Knoten $w' \in B, w \neq w'$ verbunden sein. Diese drei Knoten w, v, w' können aber nicht die Flusserhaltungsbedingung aufrecht erhalten, denn aus w und w' fließen jeweils 1 ab aber in v können nicht 2 einfließen. Damit muss es also noch eine weitere Kante geben die mit Pfad (w, v, w') verbunden ist. Falls diese Kante aus vorherigen Überlegungen nicht in w führen und auch nicht aus v hinausführen, denn sonst müsste in den Knoten v 3 Einheiten einfließen. Also muss eine Kante $(v', w'), v' \in A$ in w' führen und diese kann keine Matchingkante sein, da (v, w') eine Matchingkante ist. Nun haben wir einen Pfad (w, v, w', v') , wobei (w, v) und (w', v') keine Matchingkanten sind aber (v, w') eine Matchingkante ist. Tauschen wir die Rollen der Kanten so erhalten wir ein Matching mit einer neuen Matchingkante. Setzen wir hier iterativ fort ist dies ein Widerspruch zu $2|M| < |V|$.

Zusammengefasst, war also die Annahme es existiere kein perfektes Matching falsch und es muss daher eines existieren.

Nun beweisen wir, wenn ein perfektes Matching existiert, so gilt $\max_f F(f) = k$:

Wir nehmen an, es existiert ein perfektes Matching M^* und konstruieren einen Fluss f^* der den Wert $F(f^*) = k$ besitzen wird. Dazu setzen wir

$$f^*((a, b)) = \begin{cases} 1, & \text{falls } (a, b) \in M^* \\ 0, & \text{sonst} \end{cases} \quad \forall a \in A, b \in B. \quad (4)$$

Dies bedeutet zwischen einem Knoten $a \in A$ und einem Knoten $b \in B$ existiert genau eine Kante, nämlich die Matchingkante, die genau eine Flusseinheit transportiert. Setzen wir nun $f^*((q, a)) = 1, \forall a \in A$ und $f^*((b, s)) = 1, \forall b \in B$, so gilt offensichtlich

$$\sum_{p \in \text{Parent}(v)} f^*((p, v)) = \sum_{c \in \text{Child}(v)} f^*((v, c)) = 1. \quad (5)$$

Dies bedeutet wir haben einen zulässigen Fluss konstruiert, der den Wert

$$F(f^*) = \sum_{i=1}^k f^*((q, a)) = \sum_{i=1}^k 1 = k. \quad (6)$$

Somit muss also $\max_f F(f) \geq k$ gelten. Da allerdings $0 \leq f((i, j)) \leq 1, \forall (i, j) \in E$ gilt, muss $\max_f F(f) \leq k$ sein, da maximal k Kanten in s münden bzw aus q ausgehen. Daraus folgt

$$\max_f F(f) = k \quad (7)$$

2. Beweisen, Sie dass jeder (endliche) DAG zumindest eine Quelle und eine Senke hat.

Nehmen wir zunächst an, es existiere ein DAG $G = (V, E)$, der keine Quelle und Senke besitzt. Dies bedeutet er muss in jedem Knoten $v \in V$ mindestens eine eingehende und eine ausgehende Kante besitzen, denn sonst wäre er eine Quelle bzw. Senke. Dies bedeutet aber das eine Folge von Knoten $v_1, \dots, v_k \in V$ existieren muss, sodass es von v einen Weg zu sich selbst, also v geben muss, da ansonsten ja eine Quelle existieren müsste die einen Weg zu v besitzt. Dieser Weg (v, v, \dots, v_k, v) ist aber per Definition ein Kreis und somit ein Widerspruch zur Azyklizität von unserem Graphen. Somit war unsere Annahme falsch und es muss mindestens eine Quelle und eine Senke existieren.

Aufgabenblatt 3

1. Zu Zeigen: Jede DTM kann mit polynomielltem Zeitaufwand auf einem deterministischen Warteschlangen-Automat simuliert werden, und umgekehrt.

Damit man eine DTM auf eine oder mehrere DWA's zu simulieren, sind die Bewegungsmöglichkeiten der beiden zu beachten:

- **DTM:** liest ein Symbol und kann sich der Lesekopf nach link oder rechts bewegen, dann ein Symbol schreiben und den Zustand wechseln.
- **DWA:** Pop, Push und Zustandsänderung.

Um die Äquivalenz zwischen dem DWA und DTM zu zeigen, müssen wir 2 Fälle behandeln:

1. DWA auf DTM:

DWA und DTM haben die selbe Eingabe. Das erste Symbol dient zur Erkennung, wo die Angabe anfängt. Wir wollen nun die Eingabe zyklisch verschieben.

DWA: Wenn man bei der DWA ein Symbol popped und das gleiche Symbol wiederum pushed, solange bis das erste Symbol erreicht wird und wieder die die selbe Eingabe im DWA steht.

$$T(n) = \mathcal{O}(1) + \mathcal{O}(1) = \mathcal{O}(1)$$

DTM: Der Lesekopf bewegt sich vom ersten Symbol bis zum ersten Blanksymbol, damit das letzte Symbol erkannt wird, geht er wieder einen Schritt nach links. Das an dieser Stelle stehende Symbol wird gelesen und mit einem Blanksymbol überschrieben. Der Lesekopf wandert wiederum ganz nach rechts bis zum ersten Blanksymbol, wo das gelesene Symbol platziert wird. Nun bewegt sich der Kopf nach rechts und holt sich das nächste Symbol, solange bis das erste Symbol gelesen wird.

$$T(n) = \mathcal{O}(n) + \mathcal{O}(n) = \mathcal{O}(n)$$

2. DTM auf DWA:

DTM: Es gibt um die Verschiebung(Lesen—R—Schreiben) des Lesekopfes der DTM, die dann auf der DWA gezeigt soll werden.

$$T(n) = \mathcal{O}(1)$$

DWA: Um diese Verschiebung auf einem DWA zu zeigen, werden zwei weitere Symbole eingeführt. Das eine repräsentiert die Schreib/Lese Kopf und das andere steht ganz am Ende des DWA's, was das Ende repräsentiert. Die ersten zwei Symbole werden popped und das zweitere anschließend gepushed und danach das erste Symbol. Danach kommen alle anderen Symbole und der Reihe nach popped und pushed.

$$T(n) = \mathcal{O}(1) + \mathcal{O}(n) = \mathcal{O}(n)$$

2. Zu Zeigen: Ein deterministischer 2-KA ist mächtiger als ein deterministischer 1-KA.

Um zu zeigen, dass der 2-KA mächtiger ist als der 1-KA, muss eine Sprache existieren, die am 1-KA nicht entschieden wird. Wir stellen hier zwei den 1-KA und 2-KA gegenüber:

Der 1-KA Automat kann nicht entscheiden, ob ein Palindrom (Chomsky Hierarchie: Typ 2) gültig ist:

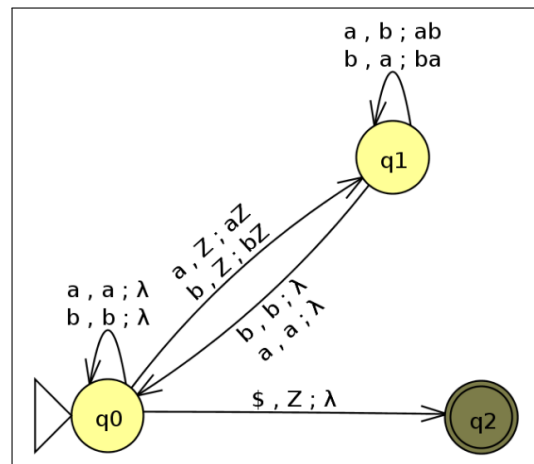


Abbildung 4: 1-KA

$\Sigma = a, b, Z, \$, \lambda$, wobei das $\$$ -Symbol zur Markierung vom Ende der Eingabe dient und das Z -Symbol das Ende im Stack markiert. Vom Zustand q_0 auf q_1 wird geprüft, ob die Eingabe aus Teilpalindromen enthält. Teilpalindrome sind Symbole aus der Kombination von ab und ba , die zwischen Stack und Eingabe verglichen werden. Das Problem des 1-KA ist, dass nicht die gesamte Eingabe betrachtet wird sondern die eben zuvor erwähnten Kombinationen. Folglich können mehrere Palindrome zusammen in die Eingabe sein, was dann der 1-KA entscheidet, obwohl er nicht sollte.

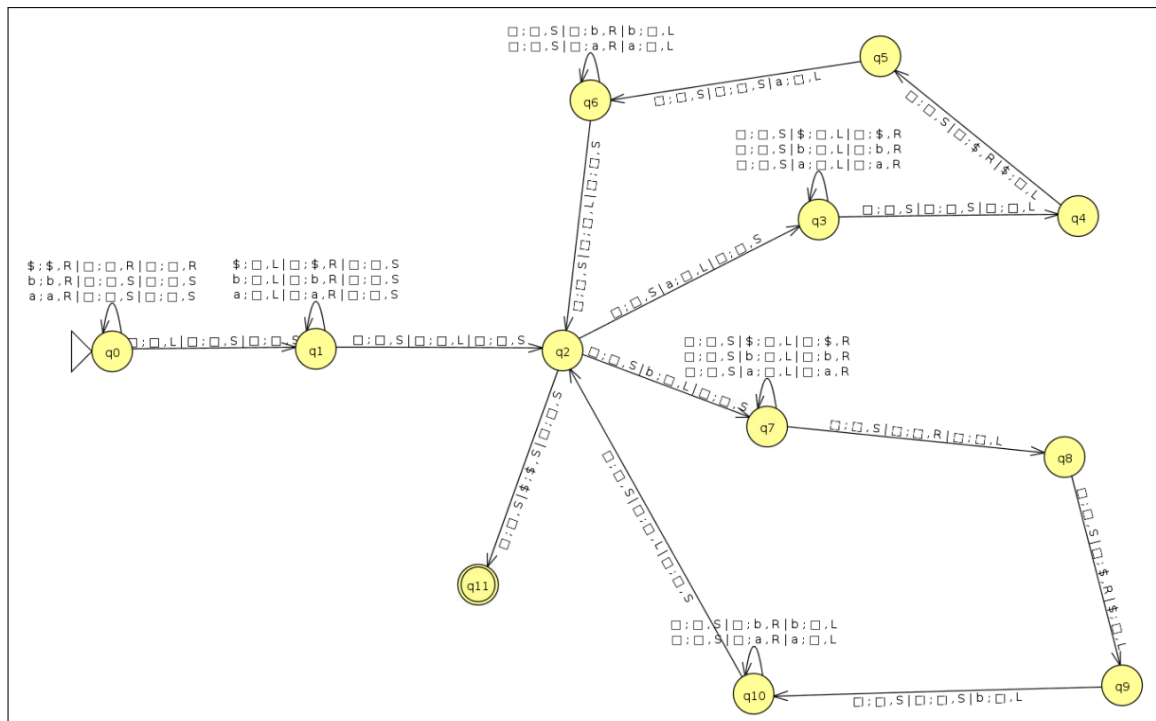


Abbildung 5: Simulation von 2-KA auf eine 3-DTM

In Abbildung 5 wird einen 2-KA auf eine 3-DTM simuliert (da es in JFLAP für 2-KA nicht realisierbar ist). Auf dem ersten Band findet man die Eingabe, und die zwei weiteren Bänder dienen als Stacks. Es wird vom ersten Band alle Symbole auf das zweite Band geschrieben. Die Abbildung 5 hat grundsätzlich zwei Schleifen, die eine arbeitet die a-Symbole und die andere die b-Symbole ab. Vom ersten Stack wird das erste Symbol gelesen und gelöscht, jedoch wird das Symbol anhand eines Zustandes gemerkt.

Die restlichen Symbole werden auf Band 2 geschrieben und nun nach dem \$-Symbol, was das Ende(Band 1) bzw. Anfang (Band 2) zeigt, muss wieder das gleiche Symbol (letzte) folgen, welches vorhin gelöscht wurde. Nun beginnt das ganze wieder von vorne so lange bis alle Symbole abgearbeitet wurden.

Der 2-KA betrachtet somit die gesamte Eingabe und kann entscheiden, ob die Eingabe ein Palindrom ist. Als Resultat kann der 2-KA in der Chomsky Hierarchie die Sprachen vom Typ 2 lösen und ist daher mächtiger als ein 1-KA.

Literatur:

http://en.wikipedia.org/wiki/Queue_automaton

<http://www.igi.tugraz.at/lehre/TI1/SS15/vo/TI1-V0-02-handout.pdf>